

И. Т. РАСС

ПАРАГЕНЕЗИСЫ ПОСТМАГМАТИЧЕСКИХ МЕТАСОМАТИТОВ
ЩЕЛОЧНО-УЛЬТРАОСНОВНЫХ ПОРОД

(Представлено академиком Д. С. Коржинским 25 III 1970)

Исследование методом парагенетического анализа смены минеральных ассоциаций постмагматических метасоматитов щелочно-ультраосновных пород Гулинского массива в зависимости от изменения химических потенциалов CaO и H_2O показало, что разнородные процессы, характерные для этих пород (флогопитизация ⁽¹⁾, образование пироксен-гранатовых и флогопитранатовых пород (автореакционных скарнов) ^(1, 2), гидромелилитовых ⁽³⁾ пород, канкринитизация ⁽⁴⁾) могут рассматриваться как процессы, проходящие на фронте карбонатизации и ведущие к образованию зон инфильтрационной метасоматической колонки карбонатизации.

При изучении минеральных ассоциаций, образующихся в результате карбонатизации магматических ультраосновных и щелочных пород и метасоматических пород магматической стадии изменения ультрабазитов, наблюдаются устойчивые ассоциации, в состав минералов которых входят следующие компоненты: инертные — избыточные $\text{FeO} + \text{Fe}_2\text{O}_3$, обусловливая присутствие магнетита; TiO_2 — перовскита; P_2O_5 — апатита; компоненты-примеси MnO ; изоморфные — FeO ; виртуальные инертные — SiO_2 , Al_2O_3 , MgO ; вполне подвижные: K_2O , Na_2O ; виртуальные вполне подвижные — H_2O , CaO . Следовательно, мы имеем систему из 6 фаз, сложенных при произвольных и постоянных давлениях или объеме, химических потенциалах K_2O и Na_2O 5 виртуальными компонентами. Для расчета этой системы по методу Д. С. Коржинского ⁽⁴⁾ с применением правила Ф. А. Скрайнемакерса ⁽⁵⁾ принимаем следующие формулы минералов:

для оливина (Ол) $[\text{Mg}_{1,64}\text{Fe}_{0,25}^{2+}(\text{Fe}_{0,01}^{3+}\text{Mn}_{0,01}\text{Ca}_{0,02})]_{1,98}\text{SiO}_4$ по данным 4 анализов;

для флогопита из оливин-пироксеновых пород (Фл₁) $(\text{K}_{0,86}\text{Na}_{0,23}\text{Ca}_{0,06})_{0,95} \times (\text{Mg}_{2,58}\text{Fe}_{0,23}^{2+}\text{Fe}_{0,08}^{3+}\text{Ti}_{0,18}\text{Mn}_{0,01}\text{Al}_{0,01})_{0,12}[(\text{Si}_{2,72}\text{Al}_{1,28})_4\text{O}_{10}] (\text{OH}_{1,65}\text{F}_{0,15})_{1,80}$ по данным 2 анализов (табл. 1); из нефелин-пироксеновых пород (Фл₂) $(\text{K}_{0,92}\text{Na}_{0,06}\text{Ca}_{0,07})_{1,05}(\text{Mg}_{2,01} \times \times \text{Fe}_{0,65}^{2+}\text{Fe}_{0,11}^{3+}\text{Ti}_{0,16}\text{Mn}_{0,01}\text{Al}_{0,02})_{0,96}[(\text{Si}_{2,75}\text{Al}_{1,25})_4\text{O}_{10}] (\text{OH}_{1,61}\text{F}_{0,11})_{1,72}$ по данным 2 анализов (табл. 1); из меланитовых пород (Фл₃) $(\text{K}_{0,89}\text{Na}_{0,04}\text{Ca}_{0,05})_{1,02}(\text{Mg}_{2,17}\text{Fe}_{0,65}^{2+}\text{Fe}_{0,14}^{3+}\text{Ti}_{0,01} \times \times \text{Mn}_{0,01})_{0,98}[(\text{Si}_{2,78}\text{Al}_{1,13}\text{Ti}_{0,09})_4\text{O}_{10}] (\text{OH}_{1,63}\text{F}_{0,10})_{1,53}$ по данным 2 анализов (табл. 1); из пироксен-кальцитовых пород (Фл₄) $(\text{K}_{0,82}\text{Na}_{0,18}\text{Ca}_{0,06})_{1,01}(\text{Mg}_{2,67}\text{Fe}_{0,26}^{2+}\text{Fe}_{0,03}^{3+}\text{Ti}_{0,02})_{0,95} \times \times [(\text{Si}_{2,79}\text{Al}_{1,17}\text{Ti}_{0,04})_4\text{O}_{10}] (\text{OH}_{1,75}\text{F}_{0,14})_{1,50}$ по данным 1 анализа (табл. 1);

для пироксена из оливин-пироксеновых пород (Пи₁) $(\text{Ca}_{0,92}\text{Na}_{0,03})_{0,95}(\text{Mg}_{0,90}\text{Fe}_{0,10}^{2+} \times \times \text{Fe}_{0,06}^{3+}\text{Ti}_{0,08}\text{Al}_{0,01})_{1,10}[(\text{Si}_{1,89}\text{Al}_{0,11})_2\text{O}_6]$ по данным 3 анализов (табл. 1); из нефелин-пироксеновых пород (Пи₂) $(\text{Ca}_{0,91}\text{Na}_{0,08}\text{K}_{0,01})_{1,00}(\text{Mg}_{0,75}\text{Fe}_{0,14}^{2+}\text{Fe}_{0,06}^{3+})_{0,95}[(\text{Si}_{1,83}\text{Al}_{0,04}\text{Ti}_{0,02} \times \times \text{Fe}_{0,01}^{3+})_2\text{O}_6]$ по данным 2 анализов (табл. 1); из меланитовых пород (Пи₃) $(\text{Ca}_{1,00} \times \times \text{Na}_{0,02})_{1,02}(\text{Mg}_{0,87}\text{Fe}_{0,11}^{2+}\text{Fe}_{0,01}^{3+}\text{Mn}_{0,01})_{1,00}[(\text{Si}_{1,96}\text{Al}_{0,01}\text{Fe}_{0,03}^{2+})_2\text{O}_6]$ по данным 2 анализов (табл. 1); из пироксен-кальцитовых пород (Пи₄) $(\text{Ca}_{0,99}\text{Na}_{0,01})_{1,03}(\text{Mg}_{0,92}\text{Fe}_{0,01}^{2+})_{0,99}[(\text{Si}_{1,84} \times \times \text{Al}_{0,02}\text{Fe}_{0,04}^{3+})_2\text{O}_6]$ по данным 1 анализа (табл. 1);

для мелилита (Ме) $(\text{K}_{0,01}\text{Na}_{0,23}\text{Ca}_{1,76})_{2,00}(\text{Mg}_{0,88}\text{Fe}_{0,01}^{2+}\text{Fe}_{0,02}^{3+}\text{Al}_{0,21})_{1,01}[(\text{Si}_{0,98}\text{Al}_{0,04})_2\text{O}_7]$ ⁽¹⁾ и гидромелилита (Гме) $(\text{K}_{0,02}\text{Na}_{0,24}\text{Ca}_{1,52})_{1,78}(\text{Mg}_{0,51}\text{Fe}_{0,51}^{2+}\text{Fe}_{0,02}^{3+}\text{Al}_{0,23})_{0,97}[(\text{Si}_{0,91}\text{Al}_{0,05})_2\text{O}_7] \cdot 4\text{H}_2\text{O}$ ⁽¹⁾;

для нефелина (Не) $(\text{Na}_{0,86}\text{K}_{0,23}\text{Ca}_{0,04})_{0,84}[(\text{Al}_{1,00}\text{Si}_{1,00})\text{O}_4]$ ⁽¹⁾;

для канкринита (Канк) $(\text{Na}_{0,87}\text{K}_{0,02}\text{Ca}_{0,87})_{1,16}[(\text{Al}_{1,03}\text{Si}_{0,98})\text{O}_4](\text{CO}_3)_{0,27} \cdot 0,45\text{H}_2\text{O}$ ⁽⁶⁾;

для меланита (Мелан) $\text{Ca}_{2,99}(\text{Mg}_{0,96}\text{Fe}_{0,06}^{2+}\text{Fe}_{1,00}^{3+}\text{Al}_{0,31}\text{Mn}_{0,01})_{1,04}[(\text{Si}_{2,98}\text{Ti}_{0,07})_2\text{O}_{12}]$ ⁽¹⁾.

Изменение химических потенциалов кальция и воды в пределах каждого поля диаграммы (рис. 1) приводит к изменению состава

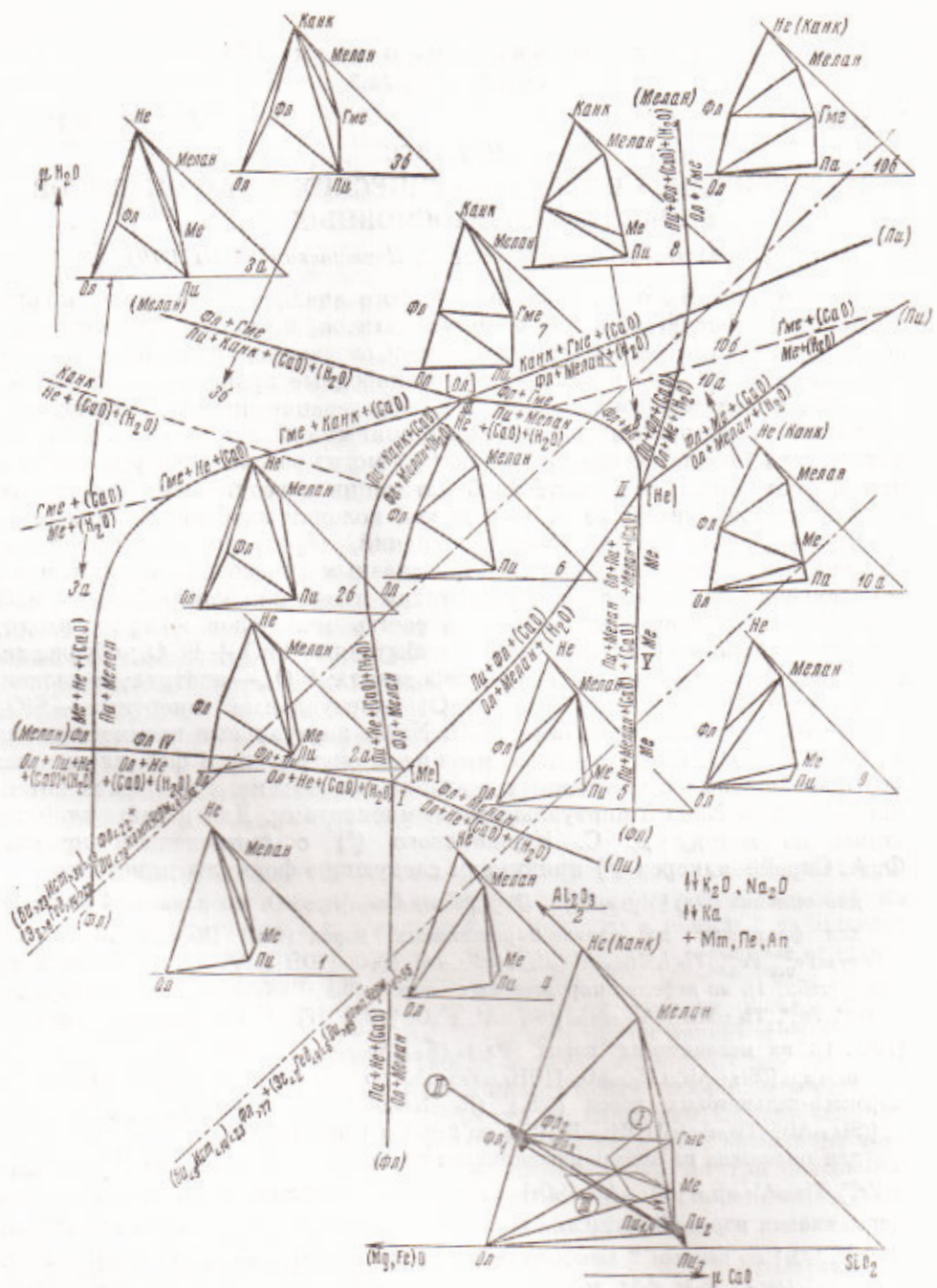


Рис. 1. Диаграмма парагенезисов постмагматических метасоматитов щелочно-ультраподовых пород. Соотношения виртуальных компонентов (мол. %):

Точка	Минерал	(Mg, Fe) O	(Al, Fe)2O3	SiO2	CaO	H2O	f, %	n, %
I	Пн	1,0	0,2	1,8	0,9	0	13,9	3,7
	Фл	2,8	1,4	2,7	0,1	1,6	42,8	
II	Пн	0,9	0,1	2,0	1,0	0	16,4	4,8
	Фл	2,8	1,3	2,8	0	1,6	22,3	
III	Пн	0,9	0,1	1,9	0,9	0	26,6	9,7
	Фл	2,7	1,2	2,8	0,1	1,4	33,6	
IV	Пн	0,9	0,1	1,9	0,9	0	23,0	9,4
	Фл	2,7	1,4	2,8	0,1	1,6	28,6	
V	Пн	1,0	0	2,0	1,0	0	8,3	2,2

Римские цифры в кружках — типы метасоматических колонок.

Таблица 1*

	Пи ₁	Пи ₂	Пи ₃	Пи ₄	Фл ₁	Фл ₂	Фл ₃	Фл ₄
SiO ₂	54,45	49,40	49,95	51,62	52,48	51,78	52,20	37,90
TiO ₂	1,54	—	1,54	0,58	0,66	0,22	0,27	38,08
Al ₂ O ₃	4,17	4,65	2,36	1,24	1,28	0,50	0,60	4,02
Fe ₂ O ₃	1,82	2,38	2,72	3,96	3,07	1,94	2,13	14,09
FeO	2,34	3,73	2,49	5,08	3,54	3,65	4,44	13,35
MnO	0,15	0,14	0,09	0,29	0,45	0,32	0,31	0,45
MgO	14,97	15,70	17,63	13,48	15,41	14,88	18,20	24,29
CaO	23,38	23,85	22,64	22,26	22,53	24,83	25,15	0,52
Na ₂ O	0,49	0,50	0,51	1,64	0,91	0,65	0,77	0,79
K ₂ O	0,004	0,04	0,45	0,44	0,45	0,44	0,26	0,23
H ₂ O ⁻	—	—	—	—	—	—	—	—
H ₂ O ⁺	—	0,09	0,30	0,49	0,26	0,44	0,23	0,44
F	—	—	—	—	—	—	—	—
Σ	100,454	100,48	100,35	100,48	99,44	100,43	99,79	100,53
$-O = F_2$	—	—	—	—	—	—	—	—
Σ	43,3	44,8	43,6	26,5	49,6	46,2	16,5	99,83
$f, \%$	3,7	3,6	3,8	11,8	6,9	4,3	5,4	11,5
$n, \%$	—	—	—	—	—	—	—	—

* Аналитики: Р. Л. Телепнова, Л. Г. Абрамова, А. И. Гусева, Е. И. Ломакин, Е. М. Нактиас, О. П. Острогорская.

переменных минералов вплоть до изменения типа парагенезисов. Дальнейшее разделение полей на части произведено исходя из составов Фл и Пи в характерных парагенезисах. Состав Пи пересчитан по методу (1), а Фл — на биотит (без подразделения на андит — сидерофиллит). Рассчитаны реакции гидратации Ме и Не. Расположение этих прямых на диаграмме имеет качественное значение и определено лишь по геологическим наблюдениям.

Повторяемость парагенетических ассоциаций и закономерность их смены, направленность изменения железистости сосуществующих Фл и Пи (табл. 1) оправдывает попытку представить их в виде метасоматических колонок. Изменения железистости Фл и Пи из пород последовательных зон метасоматических колонок, указывает на понижение кислотности растворов при рассматриваемом процессе.

По химическим анализам пород (1) различных зон колонок прослежено смещение фигуративных точек пород на диаграмме, отражающее тенденцию к сближению составов метасоматитов, независимо от исходных пород.

Порода	Минеральный состав	Инертные компоненты	Поле диаграммы
I. Мольтейгит, нефелин-пироксеновая			
↓			
нефелин-пироксеновая с меланитом	Пи + Не + Мелан + Ап	Mg, Si, Al, P	1, 2a
↓			
флогопитизированная, кантрикнитизированная	Пи + Фл + Мелан + Ап Пи + Кант + Мелан + Ап	Si, Al, P	(5), 6 26
↓			
флогопит-меланитовая, пироксен-меланитовая	Фл + Мелан + Ап + Ка	Si, Al, P	6
↓			
флогопит-кальцитовая, пироксен-кальцитовая	Фл + Ап + Ка	Al, P	
↓			
карбонатит *			
II. Оливинит, пироксенит, пироксеновая, анакратит			
↓			
флогопитизированная оливин-пироксеновая	Ол + Пи + Фл + Мт (+Не)	Mg, Si, Al, Fe ³⁺	1, 2a
↓			
пироксен-флогопитовая, порфиробластический слюдит	Пи + Фл + Мт + Ка (+Не)	Si, Al, Fe ³⁺	6
↓			
флогопит-кальцитовая или пироксен-кальцитовая	Фл + Мт + Ка (Пи + Мт + Ка)	Al, Fe ³⁺ (Si, Fe ³⁺)	
↓			
карбонатит			
III. Мелилитовый оливинит, мелилитовая			
↓			
флогопитизированная мелилитовая	Ол + Ме + Фл + Ап + Мт	Mg, Si, Al, Fe ³⁺ , P	(9), 10a
↓			
гидромелилит-оливиновая	Ол + Гме + Фл + Ап + Мт	Si, Al, Fe ³⁺ , P	106
↓			
гидромелилит-флогопитовая гидромелилит-меланитовая	Гме + Фл + Ап + Мт + Ка + (Гме + Мелан + Ап + Мт + Ка)	Si, Al, Fe ³⁺ , P (Si, Al, Fe ³⁺ , P)	7,8 7,8
↓			
гидромелилит-кальцитовая	Гме + Ап + Мт + Ка	Si, Fe ³⁺ , P	
↓			
карбонатит			

* Карбонатит (здесь и далее), представляющий собой тыловую зону метасоматита чесноков, существенно отличается от карбонатитов, образующих два гигантских штокобразных тела, очевидно магматического генезиса.

Институт геологии рудных месторождений,
петрографии, минералогии и геохимии
Академии наук СССР

Москва

Поступило
20 III 1970

ЦИТИРОВАННАЯ ЛИТЕРАТУРА

- ¹ Е. М. Эштейн, Л. И. Аникеева, А. Ф. Михайлова, В. кн. Гулинская интрузия ультраосновных щелочных пород, М., 1961. ² В. А. Жариков, В. кн. Генезис эндогенных рудных месторождений, М., 1968. ³ А. В. Лапин, В. кн. Петрология и геохимические особенности комплекса ультрабазитов, щелочных пород и карбонатитов, М., 1965. ⁴ Д. С. Коржинский, Физико-химические основы анализа парагенезисов минералов, М., 1957. ⁵ Ф. А. Скрайнемакерс, Нонвариантные, моновариантные и дивариантные равновесия, М., 1948. ⁶ У. А. Дир, Р. А. Хауи, Дж. Зусман, Породообразующие минералы, М., 1966. ⁷ Г. С. Иодер, К. Э. Тилли, Происхождение базальтовых магм, М., 1965.